

УДК 541.128.43

ХИМИЯ

Г. И. ГОЛОДЕЦ, Ю. И. ПЯТНИЦКИЙ, Н. И. ИЛЬЧЕНКО

**ЗАВИСИМОСТЬ МЕЖДУ ТЕРМОДИНАМИЧЕСКИМИ
И КАТАЛИТИЧЕСКИМИ СВОЙСТВАМИ ВАНАДИЙ —
МОЛИБДЕНОВЫХ ОКИСНЫХ КАТАЛИЗАТОРОВ**

(Представлено академиком Б. А. Казанским 24 IV 1970)

В настоящей работе исследуется зависимость между прочностью связи поверхностного кислорода и каталитическими свойствами ванадий — молибденовых окисных контактов. Эти вещества катализируют окисление оксида углерода молекулярным кислородом (¹) и особенно широко применяются для ускорения реакций неполного окисления органических соединений в кислые продукты: бензала или фурфурола — в малеиновый ангидрид, о-ксилола — во фталевый ангидрид и др. (^{2, 3}). Примененная нами методика приготовления катализаторов близка к использованной в (²). Состав катализаторов и удельная их поверхность $S_{уд}$ приведены в табл. 1. Рентгенофазовый анализ показал, что образцы №№ 2—4 представляют собой твердый раствор MoO_3 в V_2O_5 ; образцу № 5 отвечает химическое соединение, а катализатор с избытком MoO_3 является смесью этого соединения и MoO_3 . Эти результаты согласуются с данными (^{1, 2}).

В качестве термодинамической характеристики прочности связи поверхностного кислорода мы использовали равновесную упругость его десорбции (P_{O_2}). Логарифм этой величины пропорционален стандартному изменению свободной энергии процесса

$$(O) = \frac{1}{2}O_2 + (), \quad (1)$$

где (O) — поверхностный кислород, () — кислородная вакансия. Измерения P_{O_2} проводили в вакуумной установке, описанной в (⁴). В реактор

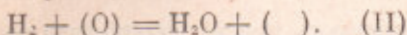
Таблица 1

Прочность связи кислорода в V — Mo-катализаторах

№№ п.п.	Состав катализа- тора, мол. %		$S_{уд}$, м ² /г	P_{O_2} , мм рт. ст.		θ_O , %	
	V_2O_5	MoO_3		при 500°	при 550°	при 500°	при 550°
1	100	—	3,27	0,203	0,294	2,4	3,5
2	90	10	6,53	0,388	0,704	4,6	8,4
3	80	20	4,14	0,430	1,875	5,1	22,3
4	70	30	3,50	0,674	3,60	8,0	42,8
5	50	50	3,00	0,735	2,99	8,8	35,6
6	25	75	3,25	0,455	1,14	5,4	13,6
7	—	100	2,45	0,011	0,060	0,14	0,7

всегда загружали количество катализатора (зернение 3 мм), отвечающее общей его поверхности 17,5 м². Образцы после предварительной стандартной обработки (⁵) нагревали до температуры опыта и выдерживали при этой температуре до тех пор, пока P_{O_2} не изменялось во времени. Результаты, как правило, воспроизводились. Количество снятого с поверхности кислорода было намного меньше монослоиного покрытия; при расчете доли удаленного кислорода (θ_0 , % от монослоя) принималось, что монослоем отвечает $1,3 \cdot 10^{19}$ атомов O на 1 м² (⁵).

Из данных табл. 1 видно, что при постепенном возрастании концентрации MoO_3 в катализаторе величина энергии связи кислорода проходит через минимум, отвечающий содержанию MoO_3 30—50%. Мы заметили также, что начальная скорость десорбции кислорода изменяется симбатично с величинами P_{O_2} , так что для реакции (I), по крайней мере качественно, выполняется соотношение Бренстеда — Темкина. Помимо величин P_{O_2} , мы измерили также начальные скорости W_{H_2} поверхностного восстановления тех же образцов водородом при 450—500° и рассчитали для них значения $r_{\text{H}_2} = 1/T_{\text{H}_2}$, где T_{H_2} — абсолютная температура достижения одинаковой (малой) скорости реакции



Это дало возможность сравнить прочность связи кислорода в $\text{V}-\text{Mo}$ -катализаторах и других окис-

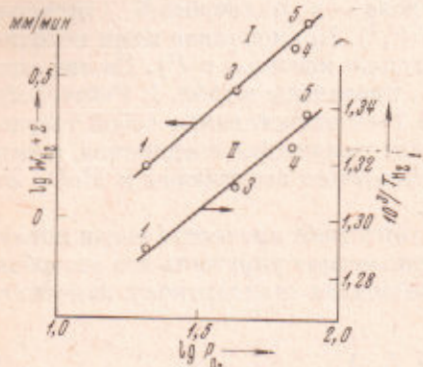


Рис. 1

Рис. 1. Зависимость между упругостью десорбции кислорода и величинами начальной скорости восстановления (I) и величинами r_{H_2} (II). Номера у прямых соответствуют номерам образцов в табл. 1

Рис. 2. Сопоставление упругости десорбции кислорода при 550° (1) и 500° (2) с катализитической активностью систем $\text{V}_2\text{O}_5 - \text{MoO}_3$: $a_{\text{C}_6\text{H}_6}$ — превращение бензола в малеиновый ангидрид при 400° (3) (3), a_{CO} — превращение CO в CO_2 при 465° (1) (4). Величины $a_{\text{C}_6\text{H}_6}$ и a_{CO} пропорциональны удельным скоростям катализа

лах, так как величины r_{H_2} известны для ряда веществ. Кинетические опыты проводились в той же установке с образцами, подвергнутыми стандартной обработке (5); о скорости процесса судили по уменьшению со временем (τ) давления водорода P_{H_2} (вода вымораживалась в ловушке).

При добавлении MoO_3 к V_2O_5 (до 50% MoO_3) скорость восстановления увеличивается; при этом отклонение зависимости $P_{\text{H}_2} - \tau$ от прямолинейности наступает при все меньших значениях θ_0 . Первый эффект свидетельствует об ослаблении связи кислорода с поверхностью, второй — об увеличении степени энергетической неоднородности поверхностного кислорода. Дальнейшее добавление MoO_3 ($> 50\%$) приводит к уменьшению W_{H_2} . Так, образец № 6 (который детально не исследовался) восстанавливается медленнее, чем образец № 5; с наименьшей скоростью восстанавливается чистая MoO_3 . Сравнение расхода водорода, рассчитанного по изменению P_{H_2} , с количеством образованной воды, найденным непосредственно, показывает, что часть водорода ($\sim \frac{1}{3}$) необратимо адсорбируется, скорее всего,

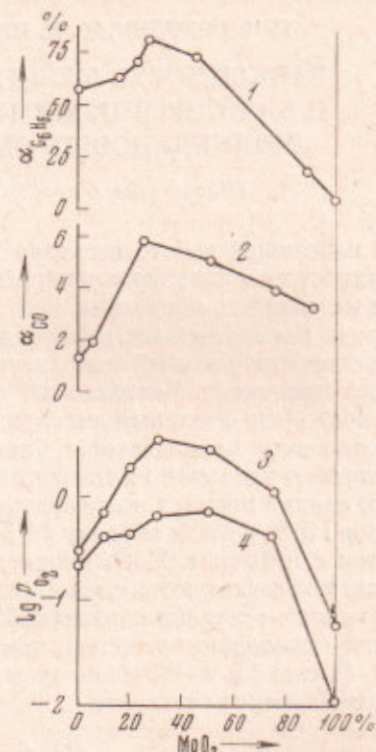


Рис. 2

в виде OH-групп; адсорбированный водород удаляется с поверхности при обработке катализатора кислородом при 500° . Такое же явление мы наблюдали при исследовании адсорбционно-химического равновесия (II) на V_2O_5 (4).

На рис. 1 представлена зависимость между упругостью десорбции при 500° и скоростью восстановления при той же температуре и $\theta_0 \leq 8\%$. Величины W_{H_2} (мм/мин) относятся к $P_{H_2} = 7,4$ мм и к начальным прямолинейным участкам кривых $P_{H_2}(t)$ (для расчета абсолютной скорости, выраженной в молекулах H_2 на 1 m^2 в секунду, значения W_{H_2} нужно умножить на $2,36 \cdot 10^{16}$). Наблюдаемая прямая зависимость между $\lg W_{H_2}$ и $\lg P_{O_2}$ указывает на то, что для реакции (II) выполняется соотношение Бренстеда — Темкина; это служит обоснованием использования величин W_{H_2} для характеристики прочности связи поверхностного кислорода. При сопоставлении величин $\lg P_{O_2}$ с $r_{H_2} = 1/T_{H_2}$ (T_{H_2} — температура достижения скорости поверхностного восстановления, равной $0,022$ мм/мин. при $P_{H_2} = 7,4$ мм) также получается прямолинейная зависимость (рис. 1). Поэтому для оценки прочности связи кислорода можно применять и величины r_{H_2} , если им отвечают температуры достижения одинаковой (малой) скорости поверхностного восстановления. Из табл. 2, в которой окислы расположены в порядке уменьшения величин r_{H_2} , видно, что V — Мо-катализаторы обладают умеренной прочностью связи поверхностного кислорода.

Катализическая активность их в отношении реакций полного окисления (CO в CO_2) и неполного окисления (бензола в малеиновый ангидрид) изменяется симметрично с величинами P_{O_2} (рис. 2), т. е. в обоих случаях активность тем выше, чем ниже энергия связи кислорода с поверхностью. Отсюда следует, что в лимитирующей стадии катализа происходит разрыв (ослабление) связи катализатора с кислородом. При окислении CO такой стадией является, по-видимому, переход электронов от адсорбирующейся окиси углерода к катализатору с образованием комплекса CO с адсорбированным кислородом. Это согласуется с тем, что при окислении CO на V_2O_5 (в избытке O_2) наблюдается первый порядок по CO и нулевой по кислороду (7); анализ экспериментальной энтропии активации (8) также подтверждает указанное предположение. Медленным этапом реакции окисления бензола в малеиновый ангидрид на рассматриваемых контактах является, вероятно, переход электронов от бензола к окислу; при этом бензол, взаимодействуя с адсорбированным кислородом, образует солеобразный комплекс типа поверхностного малеата (9, 10). Эти представления согласуются с тем, что при окислении бензола в избытке O_2 на V — Мо-катализаторах наблюдается первый (11), или близкий к первому (12) порядок по бензолу. Таким образом, аналогичный характер зависимости между прочностью связи кислорода в указанных катализаторах и активностью их в отношении процессов полного и неполного окисления обусловлен, по-видимому, некоторыми чертами сходства в характере лимитирующей стадии реакций этих двух типов.

Вместе с тем между этими реакциями есть и существенные различия. При катализе процессов полного окисления важна высокая общая активность катализатора, обеспечиваемая наличием на поверхности активного кислорода с оптимальной энергией связи q_{opt} , причем величина q_{opt} должна быть небольшой (5, 10, 12). Действительно, при окислении CO наиболее активны MnO_2 и Co_3O_4 , т. е. вещества, прочность связи кислорода в которых невелика; прочность связи кислорода в окиснованадиевых контактах выше оптимальной и, в соответствии с этим, они проявляют умеренную активность в данной реакции (табл. 2).

Для процессов неполного окисления с образованием кислот или их ангидридов оптимальному катализатору отвечают умеренные значения q и амфотерный характер катализатора в частично восстановленной его форме; контакты на основе V_2O_5 удовлетворяют обоим этим критериям (9, 10) и, в согласии с этим, являются лучшими катализаторами неполного окисления бензола в малеиновый ангидрид (табл. 2). Окислы с малой энергией связи

кислорода (MnO_2 , Co_3O_4) активно катализируют полное окисление и потому неселективны; окислы с очень прочной связью кислородом (MoO_3 , WO_3) весьма малоактивны — взаимодействие бензола с адсорбированным кислородом на них очень затруднено.

Поскольку для данных процессов неполного окисления каталитическая активность зависит не только от прочности связи кислорода с окислом, но и от его кислотно-основных свойств, то корреляцию между прочностью связи кислорода и каталитической активностью можно наблюдать при усло-

Таблица 2

Сопоставление прочности связи кислорода в окислах с их каталитическими свойствами

Катализатор	MnO_2	Co_3O_4	$70\% \text{V}_2\text{O}_5 - 30\% \text{MoO}_3$	V_2O_5	WO_3	MoO_3	Источник
$r_{\text{H}_2} \cdot 10^3$ (при $P_{\text{H}_2} = 1$ атм)	2,48	2,08	1,70	1,49	1,42	1,28	(⁶), наст. работа
$\lg k_{\text{CO}}^*$	2,49	2,30	1,69	1,05	0,44	—	(¹⁷), (¹)
% превращения бензола в мадленовский ангидрид при 400°	~0	~0	77	58	Очень мал	4	(² , ³)

* k_{CO} — удельная константа скорости окисления CO в CO_2 .

вии, что кислотно-основные характеристики сравниваемых систем достаточно близки. Исследованные нами катализаторы удовлетворяют этому условию, так как электроотрицательности ионов V^{4+} и Mo^{5+} (а также V^{5+} и Mo^{6+}) близки (¹⁰). Поэтому мы смогли обнаружить достаточно четкую зависимость между величинами P_{O_2} и каталитической активностью V — Mo-катализаторов в реакции окисления бензола (рис. 1).

Выше отмечалось, что при добавлении MoO_3 к V_2O_5 (до 50% MoO_3) увеличивается степень энергетической неоднородности поверхности кислорода. Таким образом, в согласии с гипотезой (¹⁴), повышенная неоднородность поверхности способствует увеличению скорости неполного окисления (уменьшается вероятность многократного взаимодействия адсорбированной органической молекулы и соседних атомов кислорода с образованием продуктов полного окисления). Однако этот фактор имеет подчиненное значение, так как на первый план выступает сама величина энергии связи кислорода и кислотно-основные свойства катализатора.

Институт физической химии
им. Л. В. Писаржевского
Академии наук УССР
Киев

Поступило
20 IV 1970

ЦИТИРОВАННАЯ ЛИТЕРАТУРА

- ¹ К. Тагама, et al., Proc. III Intern. Congress on Catalysis, Amsterdam, 1965, p. 282. ² И. И. Иоффе и др. Кинетика и катализ, 3, 194 (1962). ³ В. А. Ройтер и др., Каталитические свойства веществ, Киев, 1968. ⁴ Н. И. Ильченко, Ю. И. Пятницкий и др., Каталит и катализаторы, № 6 (1970). ⁵ Г. К. Боресков, В. В. Поповский, В. А. Сазонов, IV Международн. конгресс по катализу, М., 1968, препринт докл. 33. ⁶ Г. И. Голодец, Теоретич. и эксп. хим., 1, 755 (1965). ⁷ Н. А. Стукановская и др., там же, № 7 (1970). ⁸ В. В. Гончарук, Г. И. Голодец, В. А. Ройтер, Теоретич. и эксп. хим., 4, 628 (1968). ⁹ Г. И. Голодец, ДАН, 184, 1334 (1969). ¹⁰ Г. И. Голодец, Докторская диссертация, ИФХ АН УССР, 1969. ¹¹ J. D. Butler, B. G. Weston, J. Catalysis, 2, 8 (1963). ¹² И. И. Иоффе, А. Г. Любарский, Кинетика и катализ, 3, 261 (1962). ¹³ В. А. Ройтер, Г. И. Голодец, Ю. И. Пятницкий, IV Международн. конгресс по катализу, М., 1968, препринт докл. 35. ¹⁴ В. М. Х. Захтлер и др. там же, препринт докл. 34. ¹⁵ О. В. Крылов, Кинетика и катализ, 3, 502 (1962).